

三次元河床波付近の乱れ計測

東北大学工学部 正会員 岩崎敏夫
 東北大学大学院 ○学生員 半沢稔
 東北大学工学部 学生員 三宅研治

1はじめに……著者らが以前行なった実験に引き続き今
 回大型水路において河床波付近の乱流計測を行なったの
 でここに結果を報告する。

2実験方法及び条件……実験に使用した水路は幅80cm、
 長さ16mの可傾式水路である。砂は中央粒径 d_{50} が0.36mm

均等係数1.50、比重2.67のものを用い、約5cmの厚さに敷いた。流速測定は
 Hot-film(コニカルプローブ)を用い、超小型プロペラ流速計によりキャリブレ
 ションを行った。Table 1に実験条件を示す。図中、 H_0 : 平均水深、 H : 測
 定点の水深、 B/H_0 : 幅水深比、 \bar{U}_m : 断面平均流速、 U_m : 摩擦速度($\sqrt{gH_0}$)、 Fr :
 フレード数、 Re : レイノルズ数、 I : 水面勾配である。*Case 1*は砂が全く動か
 ない清水の状態、*Case 2*は砂は動くが河床波は形成されていない状態、*Case 3*は
 Dune(波長19cm高さ27cm)が、*Case 4*はRipple(波長14cm高さ1.7cm)が形成されて
 いる状態である。乱流計測は水路上流端より9mの水路中央部の測線で行った。
 なお*Case 3*ではDuneの谷、*Case 4*ではRippleの山が測線の下端となっている。デ
 テータの解析にあたり、データ総数2000個、サンプリング間隔0.01秒、最大ラ
 グ数100である。

3結果……Fig. 1は断面平均流速で無次元化した局所的平均流
 速の分布である。清水の場合には水面付近で流速が最大となる
 対し、砂が移動すると最大流速は $y/H=0.6$ 付近で生じ、 $y/H < 0.3$ で
 流速が一様化する傾向がある。Fig. 2は \bar{U}/U_m と y/k_s (k_s : 粗度高)の
 関係を見たものである。 k_s としては d_{50} をとっている。*Case 1*は清水
 であるので対数則に良く合っており、最小自乗法により分布形は
 $\bar{U}/U_m = 2.24 \ln(y/k_s) + 4.46$ となる。砂が移動する*Case 2-3-4*では y/k_s は
 50付近までは清水時に比べて勾配が急で浮遊砂流におけるカルマ
 ン定数の減少に対応しているようだが、 $y/k_s < 50$ では流速が一様化
 する傾向があり対数則から大きくはずれる。図中の一点鎖線は浮

遊砂流に対して岸らが求めた対数直線則 $\bar{U}_m = K \cdot (\ln(y/k_s) + \phi y/k_s) + A$ [K: カルマン定数、 $\phi = \alpha^{k_s} L$ 、 $\alpha \approx 7$ 、L: Monin-Obukhov 長、A: 定数]を*Case 2*の $y/k_s = 50$ 付近の実験値に合わせて求めた式である。対数則と同様、河床付
 近で実験値と大きく異なる。河床付近で流速が一様化することが移動床流れの一つの特徴と考えられる。Fig. 3
 は相対乱れ強さの分布である。*Case 1-2*は同様の分布であるが、*Case 3-4*は1-2に比べて全体的に大きく、 $y/k_s < 0.3$ で特に大きい。浮遊砂流では砂を浮遊させるためエネルギーが消費されるので乱れは小さくなると考えられ
 ているが、移動床流れにおいては、河床波による後流の影響のため乱れが大きくなっていると考えられる。Fig.
 4は自己相關が0.6となる時間の2倍をとったタイムスケールの分布である。砂が動く*Case 2-3-4*では*Case 1*に比べて全水深にわたりタイムスケールが縮少し $\frac{1}{2}$ 程度になっている。*Case 2*においてもこの傾向が見られることから、

Table 1

Case No	H_0 (cm)	H (cm)	B/H_0	\bar{U}_m (cm/sec)	U_m (cm/sec)	Fr	$Re \times 10^4$	$I \times 10^{-3}$	河床形態
1	6.80	6.80	11.69	13.87	1.080	0.17	0.87	0.175	Initial Flat
2	8.45	8.45	9.41	26.05	2.155	0.29	2.02	0.561	Move
3	9.05	10.40	8.78	28.49	3.483	0.30	2.43	1.19	Dune
4	8.87	8.00	8.96	23.40	2.162	0.25	1.92	0.596	Ripple

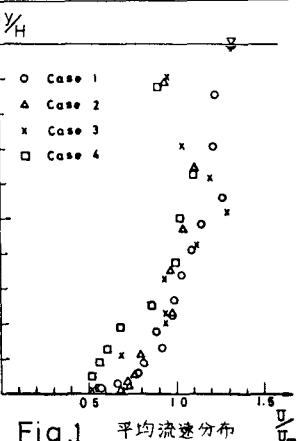


Fig. 1 平均流速分布

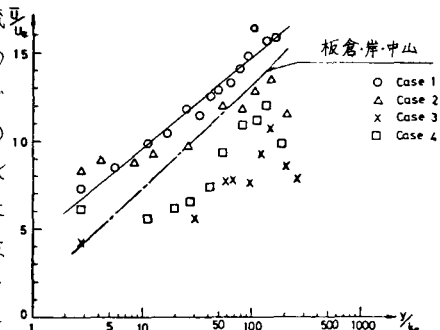


Fig. 2 \bar{U}/U_m と y/k_s の関係

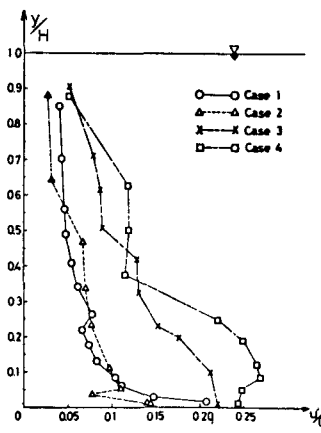


Fig. 3 相対乱れ強さ

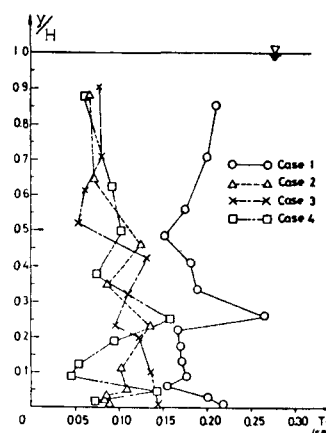


Fig. 4 タイムスケール

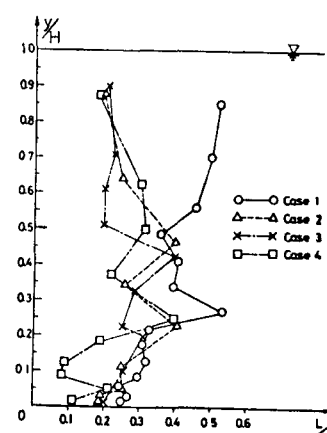


Fig. 5 平均渦径

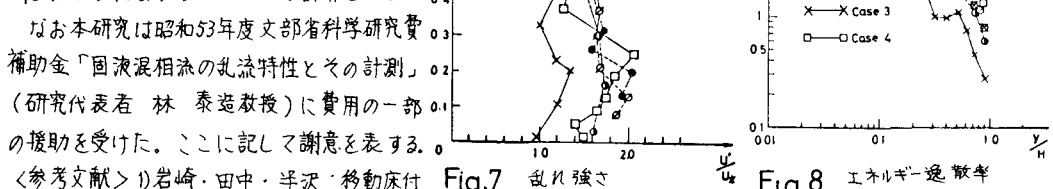
タイムスケールの縮少は砂の移動の影響が第一に効くと考えられる。Fig. 5 は平均渦径の分布である。どのケースも河床から離れるに従い大きくなっている。

Case 1では水面付近まで増大しているのに対し、砂の移動がある Case 2・3・4では半水深付近でピークを持つようである。また、砂の移動により渦径は減少する。

タイムスケール、渦径の縮少は浮遊砂流の場合と対応している。Fig. 6 は各ケースについて相対水深のほぼ等しい点の流速変動のスペクトルを比較したものである。砂が動き河床波が形成されるにつれて、全体的にエネルギーレベルは上がり、高周波側の勾配が若干緩くなることから、高周波成分の全エネルギーに占める割合が大きくなつて行く傾向を示している。どのケースでも $\frac{5}{3}$ 乗則の成立立つ慣性領域の存在が見られ、Case 1・2では粘性領域に相当する -3 乗則に合う部分も見られる。河床波が形成されると慣性領域の範囲が広がるようである。Fig. 7 は乱れ強さについて、Fig. 8 はエネルギーの逸散率について、椿らが Dune をモデル化した木製三角形粗度を敷いて行った実験結果と河床波の形成された Case 3・4 の結果とを比較したものである。河床波上の位置の対応は必ずしも良くないが、全体的な傾向は良く合っている。

これより、河床波が形成された後は、砂の移動よりは三角形粗度としての影響が強いように考えられるが、今後更に検討が必要と考える。なお E は Dryden が求めた次の式

$$E = 30 \nu (\pi / u)^2 \int_{0}^{\infty} f^2 E(f) df [E(f): Two-sided Spectrum] \text{ により } f_0 = 50 \text{ として計算した。}$$



Case	Y_H
4	0.250
3	0.231
2	0.231
1	0.221

Fig. 6

流速変動スペクトル

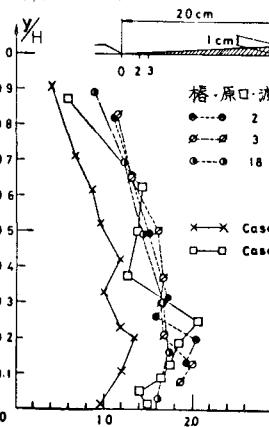


Fig. 7 乱れ強さ

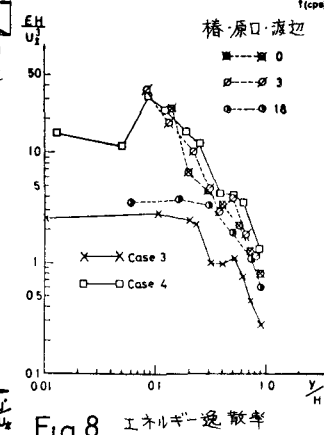


Fig. 8 エネルギー逸散率

<参考文献> 1) 岩崎・田中・半沢：「移動床付近の乱れ計測」、第33回年講 pp. 553~554
2) 岸 力：「沖積地河川の水理学序説」、1975年水工学に関する夏期研修会
3) 椿・原口・渡辺：Sand wave 状の粗度における流れと乱れ、第29回年講 pp. 392~393